

## IV-17 ローゼ桁の固有周期について

九州大学工学部 正員 山崎 徳也

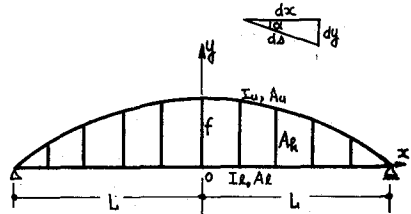
ローゼ桁の固有周期の算定法としてRitzの方法を適用せんとするにあたり、対称および逆対称の両振動に分け、前者においては水平推力  $N$  を、これによる上弦および下弦材の水平変位  $\delta_1$ 、 $\delta_2$  の和がモーメントによる支点の水平変位  $\delta_3$  に等しいといふ条件より挠みの函数として表し、エネルギーを求め固有振動数の算出を可能とした。なおこの函数となる変断面は取扱い可能であるが、簡単のため上下弦は夫々同一断面とし、また上弦曲線は、パラボラの場合を取扱つた。

### 1. 対称振動

$$\text{上弦曲線 } y = \frac{f}{L^2} (L^2 - x^2)$$

$$\delta_1 = 2 \int_0^L \frac{N \sec \alpha \cdot dx}{E A_u} \cos \alpha = 2 \int_0^L \frac{N \sqrt{1 + (\frac{dy}{dx})^2}}{E A_u} dx = \frac{2NL}{EA_u} \left(1 + \frac{2f^2}{3L^2}\right)$$

$$\delta_2 = 2 \int_0^L \frac{N}{EA_e} dx = \frac{2NL}{EA_e}$$



上下弦材の振動挠みを、中央支点原点にとり次の如くする。

$$\eta = \eta_0 \cos \omega t = \sum a_n \cos \frac{(2n-1)\pi}{2L} \pi x \cos \omega t$$

但し  $a_n \cos \frac{(2n-1)\pi}{2L} \pi x$  は橋の両端の境界条件を満足し、 $\omega$  は振動率。

すれば、モーメントによる上弦材の水平変位は、

$$\delta_3 = 2 \int_0^L \left( \frac{d^2 \eta_0}{dx^2} \right) \cdot y \cdot dx = 2 \int_0^L \left( \sum a_n \frac{(2n-1)^2 \pi^2}{(2L)^2} \cos \frac{(2n-1)\pi}{2L} \pi x \right) \frac{f}{L^2} (L^2 - x^2) dx = -\frac{8f}{L\pi} \sum \frac{a_n}{2n-1}$$

$$\delta_1 + \delta_2 = \delta_3 \text{ より}$$

$$N = \frac{4Ef}{\pi L^2} \left\{ \frac{A_e A_u}{A_e (1 + \frac{2f^2}{3L^2}) + A_u} \right\} \sum \frac{a_n}{2n-1} = k_e \sum \frac{a_n}{2n-1} \quad \text{但し } k_e = \frac{4Ef}{\pi L^2} \cdot \frac{A_e A_u}{A_e (1 + \frac{2f^2}{3L^2}) + A_u}$$

### (a) 吊材の伸びを消略した場合

$$\text{Potential Energy } V = (N_i \text{による上弦材のenergy } V_1) + (N_i \text{による下弦材のenergy } V_2)$$

$$+ (\text{Moment } i \text{による上弦材のenergy } V_3) + (\text{Moment } i \text{による下弦材のenergy } V_4)$$

$$\begin{aligned} \text{即ち } V &= \int_0^L \frac{(N \sec \alpha)^2}{2EA_u} dx + \int_0^L \frac{N^2}{2EA_e} dx + \int_0^L \frac{M_u^2}{2EI_u} dx + \int_0^L \frac{M_e^2}{2EI_e} dx \\ &= \int_0^L \frac{(N \sec \alpha)^2}{2EA_u} dx + \int_0^L \frac{N^2}{2EA_e} dx + \int_0^L \frac{1}{2EI_u} \left(-EI_u \frac{d^2 \eta_0}{dx^2}\right)^2 dx + \int_0^L \frac{1}{2EI_e} \left(-EI_e \frac{d^2 \eta_0}{dx^2}\right)^2 dx \\ &= \frac{k_e^2 L}{2EA_u A_e} \left\{ A_e \left(1 + \frac{4f^2}{3L^2}\right) + A_u \right\} \left\{ \sum \frac{a_n}{2n-1} \right\}^2 + \frac{\pi^4 E}{64 L^3} (I_u + I_e) \sum a_n^2 (2n-1)^4 \end{aligned}$$

$$\text{Kinetic Energy } T = \frac{1}{2} \frac{w}{g} \omega^2 \int_0^L \left\{ \sum a_n \cos \frac{(2n-1)\pi}{2L} \pi x \right\}^2 dx = \frac{wL}{4g} \omega^2 \sum a_n^2 \quad \left\{ g: \text{重力の加速度}, w: \text{橋の単位長当たり重量} \right.$$

$$T - V \equiv F \text{ かつ } \frac{\partial F}{\partial a_1} = 0, \frac{\partial F}{\partial a_2} = 0, \dots, \frac{\partial F}{\partial a_n} = 0 \text{ より } a_1, a_2, \dots, a_n \text{ は } \text{所求する線型同次連立方程式}$$

を作り、これより  $a_1, a_2, \dots, a_m$  を消去して振動数方程式を導き、所要次数までの振動数を求めよう。

### (b) 吊材の伸びを考慮した補正

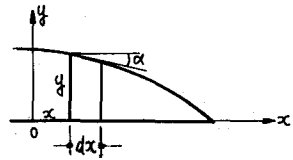
$$\text{X 軸の垂直分力 } H = -N \sin \alpha = -N \tan \alpha = -N \frac{dy}{dx}$$

$$dx \text{ 部分の鉛直分力の和} = -N \frac{dy}{dx} dx = \frac{2fN}{L^2} dx$$

$$\therefore dx = l \quad (\text{格間長}) \text{ とすれば吊材の張力 } P \text{ が得られる。即ち } P = \frac{2fl}{L^2} N$$

従つて任意点  $x$  の吊材の伸びは断面積を  $A_k$  として

$$\epsilon = \frac{y}{A_k E} \left( \frac{2flN}{L^2} \right) = \frac{2f^2 l N}{A_k E L^4} (L^2 - x^2) = \frac{2f^2 l (L^2 - x^2)}{A_k E L^4} k_a \cdot \sum_{n=1}^{\infty} \frac{a_n}{2^n - 1}$$



故に下弦材の焼みにこの  $\epsilon$  を附加しなければならず、下弦材のモーメントによる energy  $T_4$  および Kinetic Energy  $T$  が増加し、吊材自身の energy  $T_5$  もあらわれる。しかし  $N$  は対称一次振動では極めて大きく影響するが、他の振動型では影響小さく対称一次のみ即ち  $a_1$  だけをとった場合の補正量を考へてみる。 $N = k_a a_1$ 、 $n = 1$  となり

$$\Delta T_4 = \int_0^L \frac{(EI\epsilon)^2}{2EI_x} \left\{ \left( \frac{d^2\eta_0}{dx^2} + \frac{d^2\epsilon}{dx^2} \right)^2 - \left( \frac{d^2\eta_0}{dx^2} \right)^2 \right\} dx = \frac{EI\epsilon}{2} \left\{ 2 \int_0^L a_1 \frac{\pi^2}{2L} \cos \frac{\pi}{2L} x \cdot \frac{4f^2 k_a}{A_k E L^4} a_1 dx + \int_0^L \frac{16 f^2 l^2 k_a^2 a_1^2}{A_k^2 E^2 L^8} dx \right\}$$

$$= 2a_1^2 \frac{I_a f^2 l R}{A_k L^5} \left( \pi + \frac{4f^2 k_a}{A_k E L^4} \right)$$

$$\Delta T = \frac{1}{2} \frac{w}{g} \omega^2 \int_0^L \{(\eta_0 + \epsilon)^2 - \eta_0^2\} dx = \frac{w}{2g} \omega^2 \left\{ 2 \int_0^L a_1 \cos \frac{\pi}{2L} x \cdot \frac{2f^2 k_a}{A_k E L^4} (L^2 - x^2) dx + \int_0^L \frac{4f^2 l^2}{A_k^2 E^2 L^8} (L^2 - x^2)^2 dx \right\}$$

$$= a_1 \frac{w}{g} \omega^2 \left\{ \frac{32 f^2 l^2 k_a}{A_k E \pi^2 L^6} + \frac{16 f^4 l^2 k_a^2}{15 A_k^2 E^2 L^8} \right\}$$

吊材の伸びの energy  $T_5 = \sum \frac{P^2 y}{2E A_k} = \sum \frac{2f^2 l^2 k_a^2 (L^2 - x^2)}{EA_k L^6} a_1^2$  但し  $\sum$  は吊材数について、 $x$  は吊材位置の座標とする。

(c) 橋軸方向伸  $\delta_x$  による Kinetic Energy の増加

$$\text{任意点の橋軸方向伸 } \delta_x = N(L+x)/EA_x$$

$$\Delta T_x = \frac{1}{2} \frac{w}{g} \omega^2 \int_L^L \left\{ \frac{N(L+x)}{EA_x} \right\}^2 dx = \frac{w}{2g} \omega^2 \frac{6L^3 N^2}{3E^2 A_x^2} \quad n=1, N = k_a a_1 \text{ の時 } \Delta T_x = \frac{w L^3 k_a^2}{9 E^2 A_x^2} a_1^2 \omega^2$$

## 2. 逆対称振動

逆対称振動には  $N$  は作用しない。上下弦材の振動焼みを中央点を原点にとり次の如くす

$$3. \eta = \eta_0 \cos \omega t - \sum b_n \sin \frac{n\pi x}{L} \cos \omega t \quad (b_n \sin \frac{n\pi x}{L} \text{ は橋の両端の境界条件を満足し, } \omega \text{ は振動率})$$

Potential Energy  $V = (\text{Moment による上弦材の energy } T_3) + (\text{Moment による下弦材の energy } T_4)$

$$\text{即ち } V = \int_0^L \frac{M_u^2}{2EI_u} dx + \int_0^L \frac{M_p^2}{2EI_p} dx = \int_0^L \frac{1}{2EI_u} \left\{ EI_u \left[ b_n \frac{n^2 \pi^2}{L^2} \sin \frac{n\pi}{L} x \right]^2 dx + \int_0^L \frac{1}{2EI_p} \left\{ EI_p \left[ b_n \frac{n^2 \pi^2}{L^2} \sin \frac{n\pi}{L} x \right]^2 dx \right\}$$

$$= \frac{\pi^4 E}{4L^2} (I_u + I_p) \sum n^4 b_n^2$$

$$\text{Kinetic Energy } T = \frac{1}{2} \frac{w}{g} \omega^2 \int_0^L \left\{ \sum b_n \sin \frac{n\pi x}{L} \right\}^2 dx = \frac{wL}{4g} \omega^2 \sum b_n^2$$

$T - V = F$  として対称振動に於ると同様、所要次数までの振動数を求める。

	対称振動		逆対称振動	
	1次	2次	1次	2次
計算	0.348	0.368*	0.262	0.584
実測	0.35	/	0.50	/

\* (a), (b), (c) の補正を入れたもの

日向大橋につき対称・逆対称・Parameterを3回にとり計算を行つた。実測との誤差は計算に用ひた data を粗く取ること、Parameter数の少ない事、更に上弦材の横変位、床組等の共同作用の無視などもあって納得出来るものであり本計算法は実用上充分ある精度を有すると言へうる。

本研究は文部省科学研究所の補助を受けたことを附記する。